

Анализ электрических схем по постоянному току методом Ньютона – Рафсона

А. Строгонов, д. т. н.¹

УДК 621.3.011.7 | ВАК 2.2.2

Для анализа аналоговых схем разработчики широко применяют симулятор SPICE, который входит в состав большинства САПР от ведущих мировых вендоров. Сегодня доступ к бесплатным версиям и исходным кодам этой программы ограничен, в связи с чем актуальной задачей становится поиск альтернативных методов и алгоритмов расчета электрических схем, которые можно было бы реализовать в отечественных системах схемотехнического проектирования ИС. В статье на примере расчета электрических схем по постоянному току методом Ньютона – Рафсона показана возможность применения известных алгоритмов для анализа электрических схем, выполнена оценка их точности в сравнении с современными средствами проектирования.

Основные расчетные методы анализа электрических схем изложены в широко известных работах [1, 2], посвященных вопросам автоматизации схемотехнического проектирования ИС. Эти методы не потеряли актуальность и в наши дни, поскольку заложены в основу практически всех современных SPICE-подобных симуляторов аналоговых схем.

Симулятор SPICE был разработан в Калифорнийском университете в Беркли в 1972 году, в 1975 году вышел следующий релиз – SPICE2, а в 1985 году появился SPICE3, исходный код которого был преобразован с языка программирования FORTRAN на C. В конце 1970-х годов появились индустриальные версии SPICE.

В конце 1990-х годов исходные коды программ SPICE3 и XSPICE (Georgia Tech Research Institute) на языке C для UNIX были размещены в Интернете. Сегодня скачать ранее открытые исходные коды программы невозможно по причине закрытия доступа к соответствующим ресурсам (таким как www.aboutspice.com). Закрыт также доступ к бесплатному симулятору LTSpice, разработанному компанией Linear Technologies (принадлежит Analog Devices), а также к учебной версии Capture CIS Lite, которая входит в состав пакета OrCad от Cadence.

В вузах широко используют отечественную программу uSpice (<http://www.uspice.ru/>) для аналогового

и цифрового схемотехнического моделирования, для задач цифровой обработки сигналов и для анализа радиочастотных цепей [4]. Учебная программа uSpice была создана с использованием переписанного для Windows открытого кода пакетов SPICE3 и XSPICE. Имеется также руководство пользователя uSpice на русском языке. Не закрытым остается доступ к учебному симулятору AIM-Spice без схемотехнического редактора (<http://www.aimspice.com>), описание которого приведено в [5].

Оценим возможность применения расчетных методов анализа схем, как альтернативы SPICE-моделированию, на примере реализации метода Ньютона – Рафсона для анализа схем по постоянному току и сравним полученные результаты с результатами SPICE-моделирования. Для разработки собственного алгоритма («счетного ядра») по методу Ньютона – Рафсона воспользуемся учебным пособием [3].

МЕТОД НЬЮТОНА – РАФСОНА ДЛЯ АНАЛИЗА ЭЛЕКТРИЧЕСКИХ СХЕМ

Метод Ньютона – Рафсона – это итерационный численный метод нахождения корня заданной функции, то есть решения уравнений вида $f(x) = 0$.

Рассмотрим систему n нелинейных уравнений для f_i с n переменными x_i :

$$\begin{aligned} f_1(x_1, x_2, \dots, x_n) &= 0, \\ f_2(x_1, x_2, \dots, x_n) &= 0, \\ &\dots \\ f_n(x_1, x_2, \dots, x_n) &= 0, \end{aligned}$$

¹ Воронежский государственный технический университет, профессор кафедры полупроводниковой электроники и нанoeлектроники, тел. +79102471470, andreistrogonov@mail.ru.

или в матричной форме: $f(x) = 0$, где f – вектор функций, а x – вектор переменных.

После разложения в ряд Тейлора система уравнений в линеаризованной форме принимает вид:

$$f(x^*) \approx f(x) + M(x^* - x),$$

где x^* – истинное решение; M – матрица Якоби функции f :

$$M = \begin{bmatrix} \frac{\partial f_1}{\partial x_1} & \frac{\partial f_1}{\partial x_2} & \dots & \frac{\partial f_1}{\partial x_n} \\ \frac{\partial f_2}{\partial x_1} & \frac{\partial f_2}{\partial x_2} & \dots & \frac{\partial f_2}{\partial x_n} \\ \cdot & \cdot & \dots & \cdot \end{bmatrix}.$$

Если удастся подобрать истинное решение, то $f(x^*) \rightarrow 0$, тогда $f(x) + M(x^* - x) = 0$ или $f(x^k) + M(x^{k+1} - x^k) = 0$, отсюда $x^{k+1} = x^k - M^{-1}f(x^k)$. На практике M^{-1} никогда не обращают. Делают следующее:

$$x^{k+1} - x^k = \Delta x^k = -M^{-1}f(x^k),$$

тогда систему линейных уравнений $M\Delta x^k = -f(x^k)$, где Δx^k – шаг метода, можно решить методом Гаусса, LU- или QR-разложением. Новые значения x^{k+1} можно найти по формуле: $x^{k+1} = x^k + \Delta x^k$.

j -й столбец матрицы Якоби $M(x_k)$ аппроксимируется центральными разностями [3]:

$$M(x_k)_j = \frac{f(x_k + h_j) - f(x_k - h_j)}{2h_j}.$$

Условиями останова, например, могут быть [3]:

1. в простейшем случае справедливо, чтобы $f(x^{k+1})$ стремилось к нулю, то есть при подстановке найденных x^{k+1} в правую часть норма должна уменьшаться: $\|f(x^{k+1})\| \leq \|f(x^k)\|$;

2. второй критерий останова:

$$\max \left\{ \frac{|x_+[i] - x_k|}{\max\{|x_+[i]|\}} \right\} \leq \text{steptol}, \text{ где } \text{steptol} = \text{macheps}^{2/3}.$$

ДЕМОНСТРАЦИОННАЯ ПРОГРАММА

Для оценки возможности применения расчетных методов анализа схем была разработана демонстрационная программа на языке PASCAL, которая решает системы нелинейных уравнений методом Ньютона – Рафсона с использованием алгоритмов, приведенных в работах [1, 3]. Программу можно применять для анализа по постоянному току для двух и более контуров в цепи, содержащей диоды, без емкостей и индуктивностей. Перед запуском программы необходимо сформировать файл с именем `soft.dat` со следующим содержанием: `0.1 0.1` (начальные приближения). Если анализируемая схема состоит из двух контуров, как в рассматриваемых примерах, то $n = m = 2$ (n и m – размерности матрицы Якоби $M(m \times n)$ и размерности вспомогательных векторов, например, вектор правых частей $f(n)$, вектор переменных $x(n)$, Ньютоновский шаг $\Delta x(n)$ и др.).

В программе приняты следующие обозначения: $f[i]$ – вектор правых частей; $b0[i]$ – начальные приближения; $x0[i]$ – начальный пробный шаг; $x[i]$ – последующие пробные шаги к точному решению $xс[i]$, где i изменяется от 1 до n .

Процедура `kon` обеспечивает решение уравнения Ньютона в итерационной части. Первой работает процедура `kon(b0, x0)`, которая вычисляет $x0$ при начальных условиях $b0$. Далее опять вызывается процедура `kon(b, x)` для решения с минимальным шагом (для нахождения последующих пробных решений). Процедура `kon` внутри своего тела использует три другие процедуры: `fvec(b, f)`; `FDJAC(b, f, JAC)`; `QRdecomp(a, f, m1, m2, x)`. QR-разложение, QR- и R-решения разработаны по алгоритмам А3.2.1, А3.2.2 и А3.2.2а, а конечно-разностная аппроксимация якобиана – по алгоритму А5.4.1, приведенным в работе [3].

Критерии останова реализованы в процедуре `Nestop(itncount:ter; b, b0, f:tf; Var termocode:TER)` (рис. 1).

```
procedure Nestop (itncount:ter;b,b0,f:tf; Var termocode:TER);
var i:integer;
begin
  termocode:=0;
  for i:=1 to n do f[i]:=abs(f[i]); max1(f,fmax);
  if fmax<epsdop then termocode:=1;
  for i:=1 to n do eps[i]:=abs((b[i]-b0[i])/b[i]); max1(eps,epsmax);
  if epsmax<epsdop then termocode:=2;
  if itncount>=itnlimit then termocode:=4;
end;
```

Рис. 1.
Процедура
Nestop

В программе используются критерии останова termocode 0, 1, 2 и 4 (критерий termocode 3 оставлен про запас):

- termocode = 0, если не выполняется ни одно из ниже приведенных условий (termocode = 1, 2, 4);
- termocode = 1, когда максимальное значение одного из элементов правой части $f(x^{k+1})$ меньше допустимой ошибки ($\text{epsdop}=1e-8$): $f_{\text{max}} < \text{epsdop}$;
- termocode = 2, если максимальная вычисленная ошибка по одному из элементов правой части меньше или равна наперед заданной ошибке $\text{epsmax} \leq \text{epsdop}$;
- termocode = 4, если число итерационных циклов решения уравнения Ньютона – Рафсона больше или равно наперед заданному числу итераций ($\text{itnlimit} = 10$): $\text{itncount} > \text{itnlimit}$. В разработанной программе общее число итерационных циклов определяется как $\text{intcout} + 1$.

ПРИМЕРЫ АНАЛИЗА СХЕМ ПО ПОСТОЯННОМУ ТОКУ

Разработанную программу будем использовать для анализа схемы по постоянному току (DC Sweep), который предшествует анализу по переменному току (AC Sweep), определению частотной характеристики и анализу переходных процессов (Time Domain/transient). Полученные в результате анализа данные по постоянному току берутся в качестве входных условий для анализа переходных процессов.

Пример 1

Цепь, состоящая из источника тока и резисторов. Источники напряжений и токов могут быть взаимно преобразованы с использованием теорем Тевенина и Нортна. Будем считать, что такое преобразование произведено, и цепь содержит только источник тока и резисторы. Используя метод узловых потенциалов, определим напряжения в узлах. Метод основан на составлении уравнений по первому закону Кирхгофа. При этом, потенциал одного из узлов цепи принимается равным нулю. Примем узел 0 за базовый и будем считать его потенциал равным нулю.

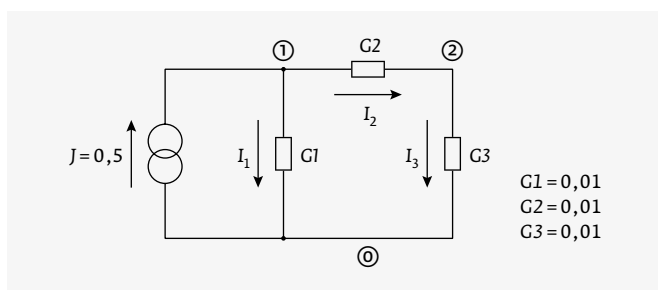


Рис. 2. Линейная цепь, состоящая из источника тока и трех резисторов

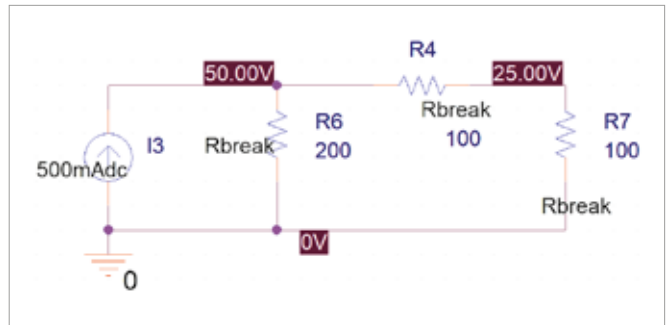


Рис. 3. Анализ линейной цепи, состоящей из источника тока и трех резисторов, в OrCad

Используя закон Ома, составим уравнения для нахождения каждого из токов. За φ_a возьмем потенциал узла, из которого ток выходит, а за φ_b потенциал узла, в который ток входит: $I = \frac{\varphi_a - \varphi_b}{R} = (\varphi_a - \varphi_b)G$. Ток, который входит в узел, берем со знаком минус, ток, который выходит из узла, берем со знаком плюс. За направления токов примем те, которые указаны на схемах. По закону Кирхгофа сумма токов, втекающих в узел равна сумме вытекающих.

На рис. 2 показана линейная цепь, состоящая из источника тока и трех резисторов. Параметры схемы: источник тока $J=0,5$ А, проводимости $G_1=0,01$, $G_2=0,01$ и $G_3=0,01$ в См (сименс). На рис. 3 показаны результаты анализа схемы по постоянному току (DC Sweep) в САПР OrCad.

Метод узловых потенциалов позволяет составить два уравнения:

для узла 1: $-J + I_1 + I_2 = 0$,
 для узла 2: $-I_2 + I_3 = 0$

или

для узла 1: $-0,5 + V_1 G_1 + (V_1 - V_2) G_2 = 0$,
 для узла 2: $-(V_1 - V_2) G_2 + V_2 G_3 = 0$.

Решая эти уравнения $V_1 = (0,5 + 0,01V_2) / 0,015$ и $V_2 = 0,5 \cdot V_1$, найдем V_1 и V_2 : $V_1 = 50$ В и $V_2 = 25$ В.

Результаты расчетов представлены в табл. 1. Критерий останова программы termocode = 1. Разработанная

Таблица 1. Анализ линейной цепи по постоянному току

Расчет по формулам	Разработанная программа	OrCad
$V_1 = 50$ В	$V_1 = 49,999$ В	$V_1 = 50$ В
$V_2 = 25$ В	$V_2 = 24,999$ В	$V_2 = 25$ В

```

procedure FVEC (b:tf;var f:tf);
  var i:integer;
      Begin
        f[1]:=-0.5+0.015*b[1]-0.01*b[2];
        f[2]:=-0.01*b[1]+0.02*b[2];
      End;

```

Рис. 4. Процедура FVEC для линейной цепи, состоящей из источника тока и трех резисторов

программа вычисляет напряжения в узлах за одну итерацию. Для расчета с помощью программы необходимо сформировать вектор правых частей системы линейных уравнений (рис. 4).

Пример 2

Этот пример заимствован из [1]: нелинейная цепь, состоящая из источника тока, двух резисторов и диода (рис. 5). Требуется определить напряжения в узлах схемы. Для практических расчетов удобно ток насыщения диода I_s принять равным единицы. Ток диода определяется формулой: $I_D = e^{40V_D} - 1$. Покажем, что один диод в рассматриваемой цепи приводит к одному нелинейному уравнению.

По методу узловых потенциалов составляем систему из двух уравнений: для узла 1: $-J + I_1 + I_2 = 0$, для узла 2: $-I_2 + I_D = 0$.

Подставив значения токов получим:

$$1: -1 + V_1 G_1 + (V_1 - V_2) G_2 = 0.$$

$$1: -1 + 3V_1 - 2V_2 = 0.$$

$$1: V_1 = 1/3 + 2/3 V_2.$$

$$2: -2V_1 + 2V_2 + e^{40V_2} - 1 = 0.$$

Подставив V_1 во второе уравнение, получим нелинейное уравнение с одним неизвестным:

$$f(V_2) = 2/3 V_2 + 40 e^{40V_2} = 0.$$

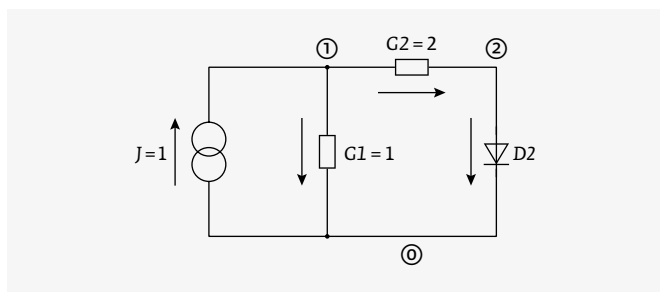


Рис. 5. Нелинейная цепь, состоящая из источника тока, резисторов и диода

Таблица 2. Анализ нелинейной цепи по постоянному току (один диод в контуре)

Расчет из работы [1]	Разработанная программа	OrCad
$V_1 = 0,3418$ В	$V_1 = 0,3418$ В	$V_1 = 0,3421$ В
$V_2 = 0,01264$ В	$V_2 = 0,0126$ В	$V_2 = 0,01308$ В

Для решения такого уравнения воспользуемся методом Ньютона – Рафсона. Начальное значение напряжения положим равным $V_2^0 = 0,1$ В. В работе [1] приводится численный расчет (см. табл. 2).

Найдем напряжения в узлах с помощью нашей программы. Аналогично, для расчета с помощью программы необходимо сформировать вектор правых частей системы линейных уравнений (рис. 6).

Проведем анализ схемы по постоянному току в САПР OrCad (рис. 7). Отредактируем Spice-модель диода интегральной схемы Dbreak: `.model Dbreak D Is=1e-14 Cjo=.1pF Rs=.1`.

```

procedure FVEC (b:tf;var f:tf);
  var i:integer;
      Begin
        f[1]:=-1+3*b[1]-2*b[2];
        f[2]:=-2*b[1]+2*b[2]+exp(40*b[2])-1;
      End;

```

Рис. 6. Процедура FVEC для нелинейной цепи, состоящей из источника тока, резисторов и диода

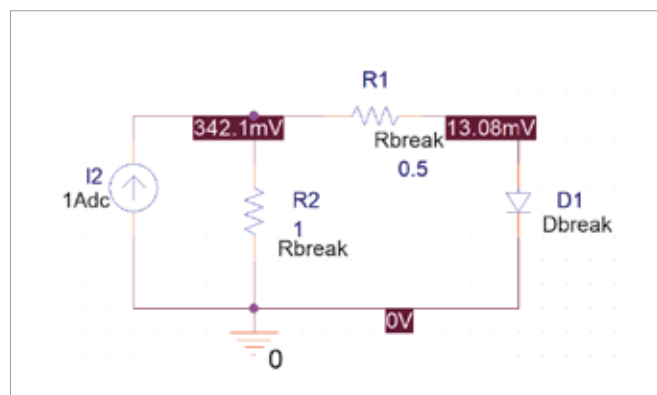


Рис. 7. Анализ нелинейной цепи, состоящей из источника тока, двух резисторов и одного диода, в OrCad

Примем в Spice-модели диода Dbreak параметр $I_s=1$. Другие параметры модели диода: емкость перехода при нулевом смещении $C_{jo} = 0$, паразитное сопротивление (последовательное сопротивление) $R_s = 0$. Остальные параметры диода примем по умолчанию. Полный перечень Spice-параметров представлен в [6].

Таким образом, Spice-модель диода для нашего случая: `.model Dbreak D Is=1`.

Результаты расчетов представлены в табл. 2. Число итераций `itncount = 7` (общее число итерационных циклов 8), `termocode = 1`.

Пример 3

Этот пример также заимствован из [1]: нелинейная цепь, состоящая из источника тока, резистора и двух диодов (рис. 8). Два диода в схеме приводят к системе из двух нелинейных уравнений, решение которой потребует применения метода Ньютона – Рафсона. Рассмотрим этот пример более подробно.

Заданы следующие условия: $J=1$; $G=1$; $I_{D1}=e^{40V_1}-1$; $I_{D2}=e^{40V_2}-1$; $I_{D1}=I_{D2}$.

По методу узловых потенциалов составляем систему из двух уравнений:

$$1: -J + I_{D1} + I_1 = 0$$

$$2: -I_1 + I_{D2} = 0$$

Подставим значения токов:

$$1: -2 + V_1 - V_2 + e^{40V_1} = 0$$

$$2: -V_1 + V_2 + e^{40V_1} - 1 = 0$$

Запишем систему уравнений для определения напряжений:

$$f_1(V_1, V_2) = -2 + V_1 - V_2 + e^{40V_1} = 0;$$

$$f_2(V_1, V_2) = -V_1 + V_2 + e^{40V_1} - 1 = 0.$$

Для составления первой строки матрицы Якоби необходимо функцию $f_1(V_1, V_2)$ дифференцировать по V_1 , затем по V_2 . Для составления второй строки необходимо

```
procedure FVEC (b:tf; var f:tf);
  var i:integer;
  Begin
    f[1]:=exp(40*b[1])+b[1]-b[2]-2;
    f[2]:=-b[1]+b[2]+exp(40*b[2])-1;
  End;
```

Рис. 9. Процедура FVEC для нелинейной цепи, состоящей из источника тока, резистора и двух диодов

$f_2(V_1, V_2)$ дифференцировать по V_1 , затем по V_2 . Векторная запись примера будет выглядеть следующим образом:

$$\begin{bmatrix} 40e^{40V_1} + 1 & -1 \\ -1 & 40e^{40V_2} + 1 \end{bmatrix} \begin{bmatrix} \Delta V_1 \\ \Delta V_2 \end{bmatrix} = - \begin{bmatrix} e^{40V_1} + V_1 - V_2 - 2 \\ -V_1 + V_2 + e^{40V_2} - 1 \end{bmatrix},$$

где $\Delta V_1, \Delta V_2$ – неизвестные, которые надо найти.

Начальные значения напряжения возьмем равными $V_1^0 = 0,1$ В и $V_2^0 = 0,1$ В. Для расчета с помощью программы необходимо сформировать вектор правых частей системы линейных уравнений (рис. 9).

Результаты расчетов представлены в табл. 3. Итоговое решение находится за 8 итераций (`itncount = 7`). Расчеты были также проверены в САПР OrCad и с использованием Spice-симулятора LTspice. На рис. 10 показана нелинейная цепь, анализируемая в САПР OrCad, а на рис. 11 – в симуляторе LTspice XVII(x64). На рис. 12 показан анализ цепи в системе Matlab/Simulink с применением пакета расширения Simscape, который поддерживает использование Spice-моделей. Как видим, результаты расчетов напряжений в узлах соответствуют расчетам с применением САПР OrCAD и симулятора LTspice.

На рис. 13 (с. 118) приведен код разработанной программы для анализа схемы по постоянному току для примера 3.

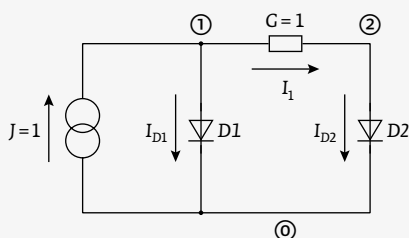


Рис. 8. Нелинейная цепь, состоящая из источника тока, резистора и двух диодов

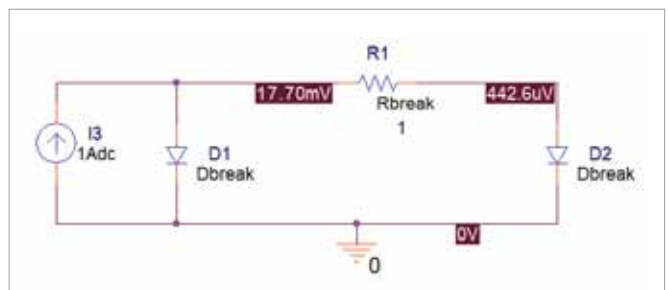


Рис. 10. Анализ нелинейной цепи, состоящей из источника тока, резистора и двух диодов, в OrCad

КРУПНЕЙШИЙ В РОССИИ



КУЛОН

общество с ограниченной ответственностью

**завод по производству пассивных
электронных компонентов**

www.kulon.spb.ru

192019, г. Санкт-Петербург, ул. Профессора Качалова, д. 3, литер К
Тел.: +7 (812) 317-33-04 | E-mail: office@kulon.spb.ru, sale@kulon.spb.ru

Таблица 3. Анализ нелинейной цепи по постоянному току (два диода в контуре)

Расчет из работы [1]	Разработанная программа	OrCad	LTspice XVII(x64)
$V_1=0,01712$ В	$V_1=0,0171$ В	$V_1=0,0177$ В	$V_1=0,017704$ В
$V_2=0,00041$ В	$V_2=0,000414$ В	$V_2=0,0004426$ В	$V_2=0,000442655$ В

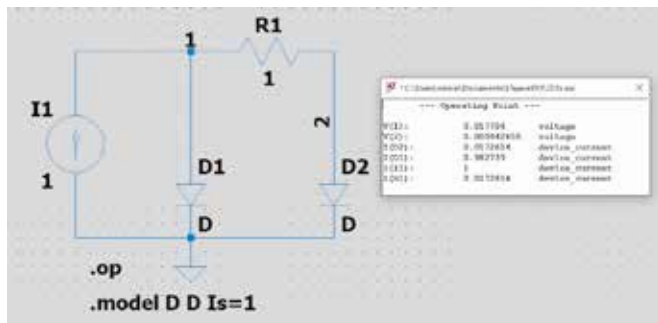


Рис. 11. Анализ нелинейной цепи, состоящей из источника тока, резистора и двух диодов, в симуляторе LTspice XVII(x64)

В файл result.out выводятся результаты работы программы. Поясним его более подробно. На рис. 14 показан фрагмент файла отчета для примера 3 (начальные итерации).

Итоговое решение уравнения Ньютона – Рафсона:

$x[1]= 1.7118992323625445E-002$,

$x[2]= 4.1417076753269045E-004$.

Число итераций:

$Itncount = 7.000000000000000E+000$.

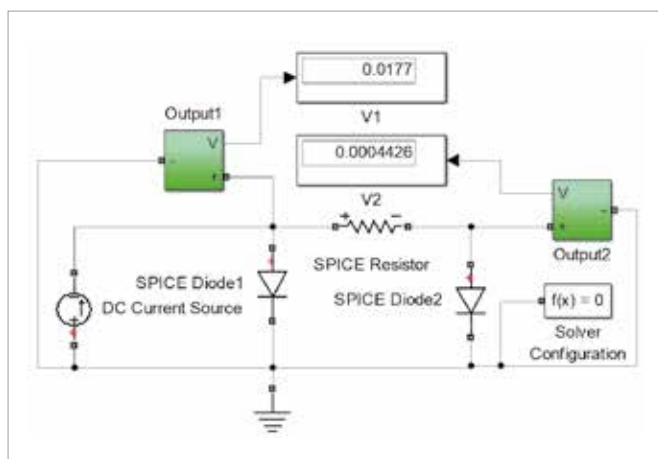


Рис. 12. Анализ цепи в системе Matlab/Simulink (пакет расширения Simscape)

Таблица 4. Результаты итераций для примера 3 из работы [1]

k	Δv_1^k	Δv_2^k	v_1^{k+1}	v_2^{k+1}
0	-0,02408	-0,02454	0,07592	0,07546
1	-0,02260	-0,02378	0,05331	0,05168
2	-0,01909	-0,02182	0,03423	0,02986
3	-0,01234	-0,01736	0,02188	0,01250
4	-0,00432	-0,00962	0,01757	0,00289
5	-0,00044	-0,00236	0,01712	0,00053
6	-0,00001	-0,00012	0,01712	0,00041
7	-0,00000	-0,00000	0,01712	0,00041

```

начальное приближение b0[i]
b0[1]= 1.000000000000000E-001
b0[2]= 1.000000000000000E-001
первоначальный пробный шаг x0[i]
x0[1]=-2.4084422710241339E-002
x0[2]=-2.4541894646377467E-002
последующие приближения к точному решению b[i]
b[1]= 7.5915577289758673E-002
b[2]= 7.5458105353622545E-002
последующие пробные шаги
x[1]=-2.2602119159013646E-002
x[2]=-2.3775926183491065E-002
последующие приближения к точному решению b[i]
b[1]= 5.3313458130745027E-002
b[2]= 5.1682179170131480E-002
последующие пробные шаги
x[1]=-1.9086141033137126E-002
x[2]=-2.1822966308692938E-002
последующие приближения к точному решению b[i]
b[1]= 3.4227317097607901E-002
b[2]= 2.9859212861438542E-002
последующие пробные шаги
x[1]=-1.2342772592439672E-002
x[2]=-1.7356576416654522E-002
последующие приближения к точному решению b[i]

```

Рис. 14. Фрагмент файла отчета работы программы для примера 3 (первые четыре итерации)

ВИТЕБСКИЙ ЗАВОД РАДИОДЕТАЛЕЙ

**МНОГОСЛОЙНЫЕ
КЕРАМИЧЕСКИЕ
КОНДЕНСАТОРЫ**

**ИМПОРТОЗАМЕЩАЮЩАЯ
ПРОДУКЦИЯ**

для высоконадёжной аппаратуры

ТЕРМОРЕЗИСТОРЫ

с положительным температурным
коэффициентом сопротивления

**РЕГИСТРЫ
НАГРЕВАТЕЛЬНЫЕ**

РЕСПУБЛИКА БЕЛАРУСЬ, 210101
г. Витебск, ул. М. Горького, 145

Отдел маркетинга и сбыта
Маркетинг:
Телефон: +375 (212) 36-44-52
E-mail: monolmarket@mail.ru
Сбыт:
Телефон: +375 (212) 36-45-34;
+375 (212) 36-45-42
E-mail: monosbet@mail.ru

www.monolit.by



**ЭКСКЛЮЗИВНЫЙ ДИЛЕР НА ТЕРРИТОРИИ
РОССИЙСКОЙ ФЕДЕРАЦИИ**
Акционерное общество «СПЕЦЭЛЕКТРОНКОМПЛЕКТ»

Почтовый адрес: 125319, г. Москва, а/я 92.
Офис: г. Москва, ул. Краснопролетарская, д. 16, стр. 2
тел.: +7 (495) 234-01-10, факс: +7 (495) 956-33-46
sales@zolshar.ru


```

{РЕШЕНИЕ СИСТЕМЫ НЕЛИНЕЙНЫХ УРАВНЕНИЙ МЕТОДОМ НЬЮТОНА – РАФСОНА}
{Для решения системы линейных уравнений используется метод QR-разложения}

program LUr (input,output);
uses crt;
const n=2; m=2; itnlimit=10; epsdop=1e-8;
type tx=array [1..m,1..n] of real; tf=array [1..n] of real;
Xm=real; st=real; ter=real;

var i,j:integer;
a,a0,JAC,JAc0:tx;
f,f0,Snak,Snak1,m1,m2,b,b0,b1,x,x0,xc,eps:tf;
Xmaks:Xm; fr,FX: text; Termocode,itncount:Ter;
t:real; fmax, epsmax:St;

    procedure max(a:tx;var Xmaks:Xm);{--отыскание макс.элемента в матрице}
    var i,j:integer;
    begin
    for i:=1 to n do for j:=1 to m do if abs(a[i,j])>=abs(a[1,1]) then
    Xmaks:=abs(a[i,j]);
    end;

    procedure sign(a:tx;var Snak:tf);
    var k:integer;
    begin
    for k:=1 to n do begin
    if a[k,k]>=0 then Snak[k]:=1
    else Snak[k]:=-1;end;
    end;

    procedure sign1(b:tf;var Snak1:tf);
    var i:integer;
    begin
    for i:=1 to n do begin
    if b[i]>=0 then Snak1[i]:=1
    else Snak1[i]:=-1;end;
    end;

procedure QRdecomp (a:tx;f:tf; var m1,m2,x:tf);
    Var i,j,k:integer;sum:real;
    begin max(a,Xmaks);
    for k:=1 to n-1 do
begin
    Sum:=0;
    for i:=k to n do
    begin
    a[i,k]:=a[i,k]/Xmaks;
    Sum:=Sum+(sqr(a[i,k]));end;
    Sum:=sqrt(Sum);
    sign(a,snak); Sum:=snak[k]*Sum;
    a[k,k]:=Sum+a[k,k];
    M1[k]:=Sum*a[k,k];
    M2[k]:=-Xmaks*Sum;
    for j:=k+1 to n do begin
    Sum:=0;
    for i:=k to n do Sum:=Sum+a[i,k]*a[i,j]/m1[k]; end;
    for i:=k to n do a[i,j]:=a[i,j]-Sum*a[i,k];end;
    m2[n]:=a[n,n];
    {for i:=1 to n do writeln(fx,'M1['',i,']=',M1[i]);
    for i:=1 to n do writeln(fx,'M2['',i,']=',M2[i]);
    for i:=1 to n do for j:=1 to n do writeln (fx,'a['',i,','',j,']=',a[i,J]);}
    for j:=1 to n-1 do
    begin
    sum:=0;

```

Рис. 13. Код программы для анализа схемы по постоянному току для примера 3

```

        for i:=j to n do sum:=sum+a[i,j]*f[i];
        sum:=sum/M1[j];
        for i:=j to n do f[i]:=f[i]-sum*a[i,j];
    end;

    f[n]:=f[n]/M2[n];
    for i:=n-1 downto 1 do begin t:=f[i];
    for j:=i+1 to n do T:=(T-a[i,j]*f[j])/m2[i]; f[i]:=t;
    end;
    for i:=1 to n do x[i]:=f[i];
    { for i:=1 to n do writeln(fx,'x[' ,i, ']=' ,x[i]);}
    END;

procedure FVEC (b:tf;var f:tf);
var i:integer;
begin
    f[1]:=exp(40*b[1])+b[1]-b[2]-2;
    f[2]:=-b[1]+b[2]+exp(40*b[2])-1;
    {writeln(fx,'Значения правой части на каждой итерации');}
    for i:=1 to n do writeln(fx,'f[' ,i, ']=' ,f[i]);}
end;

procedure FDJAC(b,f:tf; var JAC:tx);
var i:integer; DIGITS,nn,stepsizej,tempj,sqrteta:real;
fs,fn:array [1..n] of real;
begin
    digits:=2;
    nn:=1e-14;
    sqrteta:=sqrt(nn);
    for j:=1 to n do begin for i:=1 to n do fs[i]:=f[i];
    sign1(b,Snak1);
    stepsizej:=sqrteta*abs(b[i])*Snak1[j];
    tempj:=b[j];
    b[j]:=b[j]+stepsizej;
    stepsizej:=b[j]-tempj;
    Fvec(b,f);
    for i:=1 to n do fn[i]:=f[i];
    for i:=1 to n do jac[i,j]:=(fn[i]-fs[i])/stepsizej;
    for i:=1 to n do f[i]:=fs[i];
    b[j]:=tempj;end;
    {writeln (fx,'Значение матрицы Якоби на каждой итерации');}
    for j:=1 to n do for i:=1 to n
    do writeln (fx,'JAC[' ,i, ' ,j, ']=' ,JAC[i,j]);}
end;

procedure max1 (f:tf; var fmax:St);
begin fmax:=f[1]; for i:=1 to n do if f[i]>fmax then fmax:=f[i];end;

procedure Nestop (itncount:ter;b,b0,f:tf; Var termocode:TER);
var i:integer;
begin
    termocode:=0;
    for i:=1 to n do f[i]:=abs(f[i]); max1(f,fmax);
    if fmax<epsdop then termocode:=1;
    for i:=1 to n do eps[i]:=abs((b[i]-b0[i])/b[i]); max1(eps,epsmax);
    if epsmax<=epsdop then termocode:=2;
    if itncount>=itnlimit then termocode:=4;
end;

procedure Kon (b:tf;var x:tf);{решение ур.Ньютона в итер.части}
begin
    fvec(b,f);
    FDJAC(b,f,JAC);
    for j:=1 to n do for i:=1 to m do a[i,j]:=JAC[i,j];
    for i:=1 to n do f[i]:=-f[i];

```

Рис. 13. Код программы для анализа схемы по постоянному току для примера 3 (продолжение)

```

QRdecomp (a,f,m1,m2,x); end;
begin
  ClrScr; Assign(fx,'Resultat.out'); Rewrite(fx);
  Assign(fr, 'Soft.dat'); Reset (fr);
  for i:=1 to n do read (fr, b0[i]);close(fr);
  for i:=1 to n do b[i]:=b0[i];
  writeln (fx,'начальное приближение b0[i]');
  for i:=1 to n do writeln(fx,'b0['i,']=',b0[i]);
  {--Вычисление первоначальных значений--}
  kon (b0,x0);
  writeln (fx,'первоначальный пробный шаг x0[i]');
  for i:=1 to n do writeln(fx,'x0['i,']=',x0[i]);
  {--итерационная часть--}
  itncount:=0;
  while termocode=0 do begin
    writeln (fx,'последующие приближения к точному решению b[i]');
    for i:=1 to n do b[i]:=b0[i]+x0[i];
    for i:=1 to n do writeln(fx,'b['i,']=',b[i]);
    kon(b,x);{решение с шагом hmin}
    writeln (fx,'последующие пробные шаги');
    for i:=1 to n do writeln(fx,'x['i,']=',x[i]);
    Nestop (itncount,b,b0,f,termocode);
    if termocode>0 then for i:=1 to n do xc[i]:=b[i]
    else itncount:=itncount+1;
    for i:=1 to n do begin x0[i]:=x[i]; b0[i]:=b[i]; end;
    end;
    for i:=1 to n do writeln(fx,'xc['i,']=',xc[i]);
    writeln (fx,'Число итераций');
    writeln (fx,'itncount=',itncount);
    writeln (fx,'Критерий останова');
    writeln (fx,'termocode=',termocode);
    close (fx);
  end.

```

Рис. 13. Код программы для анализа схемы по постоянному току для примера 3 (продолжение)

Критерий останова:

Termocode = 1.0000000000000000E+000.

В табл. 4 приведены результаты итераций из работы [1]. Используются следующие обозначения: Δv_1^k и Δv_2^k – Ньютоновский шаг (пробные шаги); v_1^{k+1} и v_2^{k+1} – приближения к точному решению. Решение уравнения Ньютона – Рафсона определяется значениями $v_1 = 0,01712$ В и $v_2 = 0,00041$ В. Сравнивая первые четыре итерации, представленные на рис. 14 и в табл. 4, можно убедиться, что программа работает корректно.

ЗАКЛЮЧЕНИЕ

Реализация в разработанной программе решения системы нелинейных уравнений по методу Ньютона – Рафсона показала возможность применения известных алгоритмов для анализа схем по постоянному току. С учетом закрытия доступа к бесплатным версиям симулятора SPICE алгоритмы и расчетные методы, изложенные в работах [1, 3], не потеряли сегодня свою актуальность.

Рассмотренные примеры показывают, что в симуляторе SPICE используется анализ цепи методом узловых потенциалов для построения системы уравнений, описывающих схему. Метод узловых потенциалов имеет ограничения

в работе с индуктивностями, источниками переменного напряжения и различными вариантами управляемых генераторов тока и напряжения. Для устранения недостатков в современных версиях SPICE применяется модифицированный метод узловых потенциалов.

ЛИТЕРАТУРА

1. **Влах И., Сингхал К.** Машинные методы анализа и проектирования электронных схем / Пер. с англ. М.: Радио и связь, 1988. 560 с.
2. **Чуа Л. О., Лин Пен-Мин.** Машинный анализ электронных схем. Алгоритмы и вычислительные методы / Пер. с англ. М.: Энергия, 1980. 640 с.
3. **Деннис Дж., Шнабель Р.** Численные методы безусловной оптимизации и решения нелинейных уравнений / Пер. с англ. М.: Мир, 1988. 440 с.
4. **Кучумов А. А., Кучумов А. И.** Электроника и схемотехника. М.: Гелиос АРВ, 2017. 368 с.
5. **Петров М. Н., Гудков Г. В.** Моделирование компонентов и элементов интегральных схем: Уч. пос. СПб: Издательство «Лань», 2011. 464 с.
6. <https://www.allaboutcircuits.com/textbook/semiconductors/chpt-3/spice-models/#>.



ИЗДАТЕЛЬСТВО «ТЕХНОСФЕРА» ПРЕДСТАВЛЯЕТ КНИГУ:



Бобков С.Г., Басаев А.С.

МЕТОДЫ И СРЕДСТВА АППАРАТНОГО ОБЕСПЕЧЕНИЯ ВЫСОКОПРОИЗВОДИТЕЛЬНЫХ МИКРОПРОЦЕССОРНЫХ СИСТЕМ

Рецензент: Стенин Владимир Яковлевич – д-р техн. наук, проф. (Национальный исследовательский ядерный университет «МИФИ»)

**М.: ТЕХНОСФЕРА, 2021. – 264 с.
ISBN 978-5-94836-610-4**

Цена 975 руб.

Важнейшей характеристикой микропроцессорных систем является производительность. Производительность микропроцессора линейно зависит от трех характеристик – его частоты, средней частоты на выполнение инструкций и количества инструкций в выделенной области программы. В свою очередь, эти характеристики определяются технологией изготовления, архитектурой микропроцессора, системой команд и технологией компиляции. В представленной книге рассмотрены проблемы улучшения этих характеристик, а также методы и методики проектирования высокопроизводительных вычислительных систем.

Рассмотрены архитектуры микропроцессоров и коммуникационных систем, ориентированных на создание высокопроизводительных вычислительных комплексов вплоть до супер-ЭВМ. Приводится маршрут и методики проектирования микросхем.

Книга предназначена для студентов старших курсов кафедр электроники и автоматики университетов, аспирантов и специалистов указанной области.

Бобков С.Г. (Институт проблем проектирования в микроэлектронике РАН, Национальный исследовательский ядерный университет «МИФИ»)

Басаев А.С. (Научно-производственный комплекс «Технологический центр»)

Как заказать наши книги?

По почте: 125319, Москва, а/я 91
По факсу: (495) 956-33-46
E-mail: knigi@technosphera.ru
sales@technosphera.ru

ИНФОРМАЦИЯ О НОВИНКАХ
www.technosphera.ru